

# İnce Kesitli Bir Kanal İçerisindeki Akımın İncelenmesi İçin $2\frac{1}{2}$ -Boyutlu Formülasyon

Gülşen Yaman

Yardımcı Doçent Dr.

Mehmet İren

Yardımcı Doçent Dr.

Balıkesir Üniversitesi,  
Mühendislik-Mimarlık  
Fakültesi

BALIKESİR

İnce kesitli kanallarda akışkanın akımının doğru analiz edilmesi endüstriyel açıdan oldukça önem taşımaktadır. Böyle bir kanal içerisindeki akışkan akımının analizini üç-boyutlu olarak yapmak en doğru sonucu verecektir. Ancak böyle bir modeli üç-boyutlu incelemek genellikle çok karmaşık ve güçtür. Dolayısıyla bu analizin sonuçlarını elde etmek için ihtiyaç duyulan bilgisayar gücü ve zamanı çok pahalı olacaktır. Böyle bir model, bazı kabuller yaparak mümkün mertebe basitleştirilmelidir ya da iki-boyutta indirgenmelidir. Bu çalışmada, Navier-Stokes denklemleri üç-boyutlu yerine üçüncü boyut olan z-doğrultusunda kanalın h kalınlığı boyunca entegrali alınarak  $2\frac{1}{2}$ -boyuta indirgenerek yeniden düzenlenmiştir. Bu, hesaplamada belirli bir tasarrufu sağlar, örneğin  $[u, v, w]$  gibi uzaysal hız bileşenlerinden biri indirgenerek  $[\bar{u}, \bar{v}]$  şeklinde düzlemsel ortalama hızlara dönüşür. Bu düzenlemede parabolik ve düz olmak üzere iki farklı hız profili kullanılarak iki değişik formülasyon elde edilmiştir.

Anahtar Kelimeler: İnce Kesitli Kanal, Navier-Stokes Denklemi,  $2\frac{1}{2}$ -Boyut.

## GİRİŞ

İnce kesitli kanallarda akışkanların bilgisayar ortamında analizi ve bunların uygulaması endüstriyel açıdan oldukça önemlidir. Endüstride dökümle üretilen birçok parça ince kesitli geometriye sahip olduğundan üretimleri daha fazla hassasiyet ve teknoloji gerektirir. Örneğin, güncel modern teknolojik gelişme, üretim masraflarını azaltmaya, malzeme kullanımını optimize etmeye yönelik olmuştur. Bu nedenle otomobil sanayiindeki birçok parçanın (silindir kapakları, bloklar, manifoldlar, yağ karteri vb.) kalınlıkları 2-6 mm'ye kadar düşürülmüş ve bu şekilde daha ince kesitli parça tasarımını yapılarak potansiyel tasarruflar sağlanmıştır [1,2]. Çalışmanın izleyen bölümlerinde böyle bir çalışma için gerekli olan denklemlerin türetilmesi ve incelemesi yer almaktadır.

Bir boşluk içerisindeki akışkanın hareketini belirlerken, bu akışkanın basınç ve hız dağılımlarından yararlanılır. Basınç ve hız dağılımları kütlenin ve momentumun korunumu kanunlarına göre kurulmakta ve buradaki hız ve basınç değişkenleri basit değişkenler olarak adlandırılmaktadır. Ayrıca bunlar literatürlerde

akışkan akımı modellerini temsil etmek için sıkça kullanılmaktadır [3-10].

Birçok kaynakta [3-6] Navier-Stokes denklemleri olarak bilinen momentum denklemleri, süreklilik denklemleriyle birlikte basit değişkenleri belirlemekte kullanılmışlardır. Basit değişkenlere ait formülasyonun kullanılmasının bir avantajı hem laminer hem de türbülanslı akımlarda rahatlıkla kullanılabilir olmasıdır [11-14].

Süreklilik denklemi, kütlenin korunumu esasına dayalı olarak türetilmiş olup sıkıştırılamayan bir akışkan için bu denklem,

$$\nabla \cdot \mathbf{u} = 0 \quad (1)$$

şeklindedir. Burada  $\mathbf{u} = [u, v, w]$  hız vektöridür.

Sıkıştırılamayan Newtoniyen bir akım için Navier-Stokes denkleminin genel diferansiyel eşitliğini vektörel biçimde,

$$\rho \frac{\partial \mathbf{u}}{\partial t} + \rho (\mathbf{u} \cdot \nabla) \mathbf{u} = \nabla \cdot \boldsymbol{\sigma} + \rho \mathbf{g} \quad (2)$$

yazmak mümkündür. Burada  $t$  zamanı,  $\rho$  yoğunluğu,  $g$  ağırlık kuvveti terimlerini yani yerçekimi ve elektromanyetik kuvvetleri temsil eder.  $\sigma$  gerilme tensörü olup, bütün normal ve kayma gerilmesi bileşenlerinden oluşur. Gerilme tensörü  $\sigma$ ,

$$\sigma = -p\mathbf{I} + \tau \quad (3)$$

şeklinde tanımlanmıştır. Burada  $p$ ,  $\tau$  ve  $\mathbf{I}$  sırası ile termodinamik basınç, viskoz gerilme tensörü ve özdeşlik tensörüdür. Buna göre dinamik viskozite  $\mu$ 'nın ilavesiyle Newtoniyen bir akışkanın gerilme tensörü,

$$\tau = \mu [\nabla \mathbf{u} + (\nabla \mathbf{u})^T] \quad (4)$$

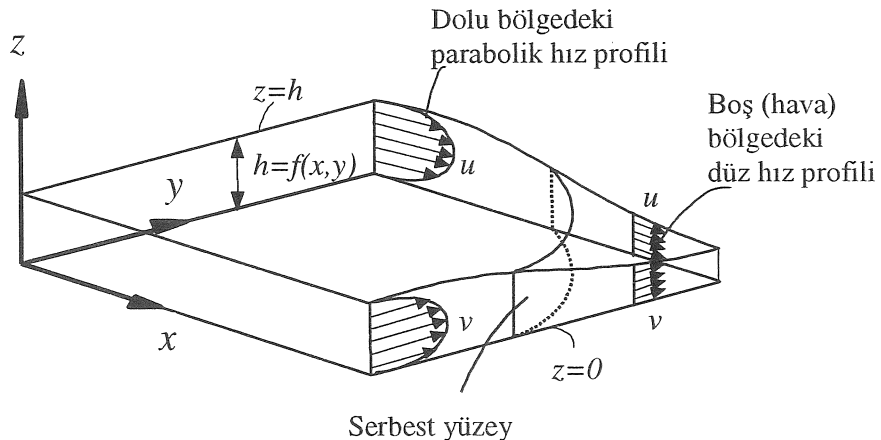
şeklinde tanımlanır.

Akim problemlerinin çözümünde genellikle iki tip sınır şartı kullanılmaktadır. Bunlar kapalı bir sınır boyunca tanımlanabilen Neumann (doğal) ve Dirichlet (zorunlu) sınır şartlarıdır. Dirichlet sınır şartı, sınırlar üzerinde belirli noktalarda hızların tanımlanmasından ibarettir. Neumann şartı da

sınırlar boyunca tanımlanan gerilme bileşenlerini veya çekmeleri (tractions) içerir.

## DENKLEMLERİN TÜRETİLMESİ

İnce kesitli bir boşluktaki laminer akım için, genellikle kalınlık doğrultusunda büyük boyutlarda bir akım gerçekleşmez. Dolayısıyla düzlemsel doğrultuda hız profilleri ya parabolik ya da düz bir dağılım şeklinde gerçekleşir. Parabolik hız dağılımının olduğu bir durum, çok büyük ve duran iki paralel levha arasındaki laminer bir akım gibi ele alınarak incelenebilir. Böyle bir dağılımda boşluğun alt ve üst yüzeylerinde kayma şartı söz konusu değildir. Düz hız profilinin ele alındığı durum için ise alt ve üst yüzeylerde kaymaya izin verilir. Örnek vermek gerekirse yüksek viskoziteli bir akışkan, yüzeylerde yapışmaya sebep olacağinden parabolik bir hız profili oluşumuna sebep olacaktır. Hava gibi düşük viskoziteli bir akışkan ise yüzeylerdeki kaymadan dolayı düz bir hız profili oluşturacaktır. Şekil 1'de böyle bir akıma ait her iki hız profilleri görülebilir.



Şekil 1. İnce kesitli bir kanal içersindeki akım

Bu çalışmada sunulan formülasyon, dar bir kanal içerisindeki Poiseuille akımına [14] benzetilerek hız profilinin analizi üzerine kurulmuştur. Ele alınan akım viskoz, sıkıştırılamayan ve Newtoniyen bir akımdır. Kanalın alt ve üst yüzeyleri arasındaki mesafe  $h$  olup  $x$  veya  $y$  'ye bağlı olarak değişmektedir. Kalınlık doğrultusunda bir akım olmadığı ( $w=0$ ) gibi basınç gradyenti de yoktur. Alt ve üst yüzeylerde kayma şartının olmadığı kabul edilerek akışkanın boşluk içerisindeki hız profili parabolik dağılım şeklinde verilebilir [15]. Bu hızın ortalama değer olarak ifadesi,

$$\mathbf{u}(z) = \bar{\mathbf{u}} \left[ \left( \frac{z}{h} \right) - \left( \frac{z}{h} \right)^2 \right] \quad (5)$$

şeklindedir. Burada  $\mathbf{u} = [u, v, w]$  gerçek hız vektörü,  $\bar{\mathbf{u}} = [\bar{u}, \bar{v}, 0]$  ortalama hız vektördür.  $h$  akışkanın hareket ettiği boşluğun kalınlığı olup  $h=f(x,y)$  şeklindedir. Alt ve üst yüzeylerde kaymaya izin verilen düz hız profili için hız ifadesi basitçe,

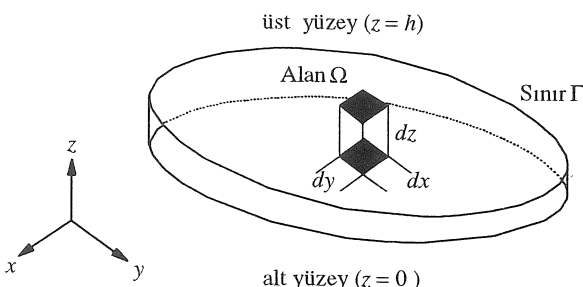
$$\mathbf{u}(z) = \bar{\mathbf{u}} \quad (6)$$

şeklinde yazılabilir. Burada temel denklemler olan süreklilik denklemi ve Navier-Stokes denklemi  $z$ -doğrultusunda  $h$  kalınlığı boyunca integre edilecektir [16]. Bu da kalınlığın ilave edildiği formülasyon olarak isimlendirilecektir.

Fomülasyonun oluşturulmasında başlangıç olarak hiçbir terim ihmali edilmemiştir. Ancak konuya yönelik seçilen örneklerle ilgili olarak kararlı hal koşullarında zamana bağlı terimler ihmali edilebilmektedir. Farklı uygulamalarda zamana bağlı terimler ve ilave denklemler (serbest yüzeyin takibi için kullanılan denklemler) kaynak [17]'de dikkate alınmaktadır.

### Kütlenin Korunumu

Şekil 2 de görüldüğü gibi  $dxdydz$  şeklinde sonsuz küçük bir akışkan elemanı göz önüne alınınsın.



Şekil 2. İnce kesitli boşluk içerisindeki sonsuz küçük bir eleman

Bir elemandaki kütlenin korunumu prensibini kalınlık doğrultusundaki hız bileşenini  $w = 0$  alarak,

$$\begin{aligned} & \left[ \rho u + \frac{\partial}{\partial x} (\rho u) dx - \rho u \right] dy \\ & + \left[ \rho v + \frac{\partial}{\partial y} (\rho v) dy - \rho v \right] dx = - \frac{\partial}{\partial t} \rho dxdy \quad (7) \end{aligned}$$

şeklinde yazmak mümkündür. Bu ifade sadeleştirildikten sonra  $z$ -yönü boyunca integre edilirse ( $\rho$  yoğunluğu  $z$ -doğrultusu boyunca sabit),

$$\begin{aligned} & \left[ \frac{\partial}{\partial t} \int_0^h (\rho dz) \right] dxdy + \left[ \frac{\partial}{\partial x} \int_0^h (\rho u) dz \right] dxdy \\ & + \left[ \frac{\partial}{\partial y} \int_0^h (\rho v) dz \right] dxdy = 0 \quad (8) \end{aligned}$$

şeklinde ifade edilir. Tablo 1'de hız terimleri için kalınlığın integre edildiği tüm ifadeler listelenmiştir. Buna göre bu ifadenin her iki tarafı  $dxdy$  alanına bölündüğünde,

$$\frac{\partial}{\partial t} (\rho h) + \frac{\partial}{\partial x} (\rho h \bar{u}) + \frac{\partial}{\partial y} (\rho h \bar{v}) = 0 \quad (9)$$

Tablo 1. Çeşitli hız ifadelerinin integralleri

<i>Integral İfadesi</i>	<i>Parabolik hız profili (5)</i>	<i>Düz hız profili (6)</i>
$\int_0^h \mathbf{u} dz$	$h \bar{\mathbf{u}}$	$h \bar{\mathbf{u}}$
$\int_0^h \nabla \cdot \mathbf{u} dz$	$\nabla \cdot (h \bar{\mathbf{u}})$	$\nabla \cdot (h \bar{\mathbf{u}})$
$\int_0^h \nabla \mathbf{u} dz$	$\nabla (h \bar{\mathbf{u}})$	$\nabla (h \bar{\mathbf{u}})$
$\int_0^h \mathbf{u} \mathbf{u} dz$	$\frac{6}{5} h \bar{\mathbf{u}} \bar{\mathbf{u}}$	$h \bar{\mathbf{u}} \bar{\mathbf{u}}$
$\int_0^h (\mathbf{u} \cdot \nabla) \mathbf{u} dz$	$\frac{6}{5} h (\bar{\mathbf{u}} \cdot \nabla) \bar{\mathbf{u}}$	$h (\bar{\mathbf{u}} \cdot \nabla) \bar{\mathbf{u}}$

şestliği elde edilir. Bu ifadenin vektörel formu,

$$\frac{\partial}{\partial t} (\rho h) + \nabla \cdot (\rho h \bar{\mathbf{u}}) = 0 \quad (10)$$

şeklinde yazılabilir. Bu ifade iki tip hız profili için de aynı olup kalınlığın ilave edildiği süreklilik denklemi olarak tanımlanabilir.

Sıkıştırılamaz akım için zamana bağlı türev ifadesi ile yoğunluğun yere ve zamana göre değişimini ihmali edilebilir. Buna göre kalınlığın ilave edildiği süreklilik denklemi aşağıdaki ifadeye dönüşür.

$$\nabla \cdot h \bar{\mathbf{u}} = 0 \quad (11)$$

### Momentumun Korunumu

Newton'un ikinci hareket kanunu temel alınarak momentumun korunumu şu şekilde tarif edilebilir: Bir  $V$  hacmine etkiyen  $F$  dış kuvvetler toplamı, hacim yüzeyi  $S$  boyunca akan net lineer momentum miktarı ile hacim içerisindeki lineer momentumun zamana göre değişim miktarının toplamına eşittir. Buna göre momentumun korunumu,

$$\sum \mathbf{F} = \oint_S \rho \mathbf{u} (\mathbf{u} \cdot \mathbf{n}) dS + \frac{\partial}{\partial t} \iiint_V \rho \mathbf{u} dV \quad (12)$$

şeklinde ifade edilir. (12) eşitliğindeki her bir terim aşağıda ayrı ayrı açıklanmıştır.

### a) Dış Kuvvetlerin Toplamı

Dış kuvvetler toplamını ağırlık ve yüzey kuvvetleri olmak üzere iki farklı kuvvetin toplamları şeklinde ele almak mümkündür. Buna göre bu toplam,

$$\sum \mathbf{F} = \sum \mathbf{F}_\sigma + \sum \mathbf{F}_b \quad (13)$$

şeklinde yazılır. Burada  $\mathbf{F}_\sigma$  normal ve kayma gerilmelerinden dolayı etki eden yüzeyel dış kuvvetler,  $\mathbf{F}_b$  ağırlık kuvvetleridir.

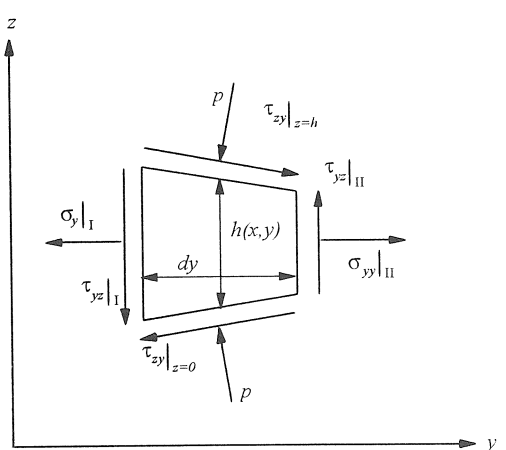
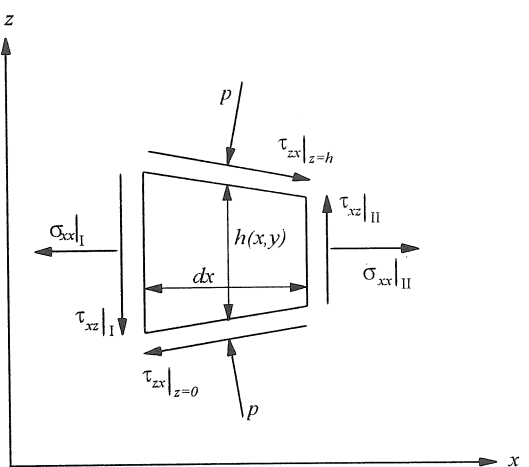
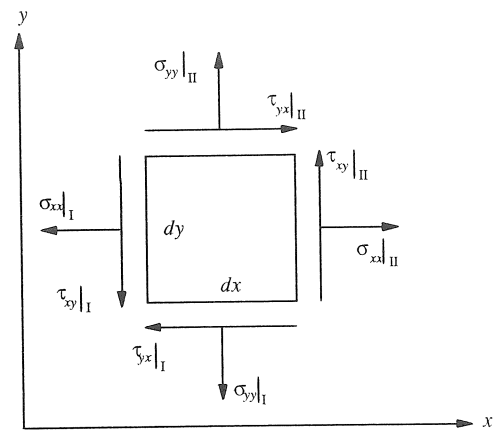
Şekil 3'e göre  $x$ -doğrultusundaki kuvvetlerin toplamı şöyle yazılabilir:

$$\begin{aligned} \sum F_x &= [\sigma_{xx}|_H - \sigma_{xx}|_I] dy dz + [\tau_{yx}|_H - \tau_{yx}|_I] dx dz \\ &+ [\tau_{zx}|_H - \tau_{zx}|_I] dx dy + p dy dz + g_x \rho dx dy dz \end{aligned} \quad (14)$$

Bu ifade daha geniş olarak tekrar yazılacak olursa,

$$\begin{aligned} \sum F_x &= \left[ \sigma_{xx} + \left( \frac{\partial \sigma_{xx}}{\partial x} dx \right) - \sigma_{xx} \right] dy dz \\ &+ \left[ \tau_{yx} + \left( \frac{\partial \tau_{yx}}{\partial y} dy \right) - \tau_{yx} \right] dx dz \\ &+ \left[ \tau_{zx} + \left( \frac{\partial \tau_{zx}}{\partial z} dz \right) - \tau_{zx} \right] dx dy \\ &+ pdy dz + g_x \rho dx dy dz \end{aligned} \quad (15)$$

şeklinde bir eşitlik elde edilir. Burada  $g_x$  yerçekimi ivmesinin  $x$ -doğrultusundaki bileşenidir. Gerekli sadeleştirmeler yapılarak ve enine akımın olmadığı ( $w=0$ ) kabul edilerek Newtoniyen bir akım için  $\sigma$  gerilme tensörü Şekil 3'de görüldüğü gibi,



Şekil 3. Sonsuz küçük bir elemana etki eden kuvvetler

$$\sigma \equiv \begin{bmatrix} \sigma_{xx} & \tau_{xy} & \tau_{xz} \\ \tau_{yx} & \sigma_{yy} & \tau_{yz} \\ \tau_{zx} & \tau_{zy} & \sigma_{zz} \end{bmatrix}$$

$$= \begin{bmatrix} -p + 2\mu \frac{\partial u}{\partial x} & \mu \left( \frac{\partial u}{\partial y} + \frac{\partial v}{\partial x} \right) & \mu \frac{\partial u}{\partial z} \\ \mu \left( \frac{\partial u}{\partial y} + \frac{\partial v}{\partial x} \right) & -p + 2\mu \frac{\partial v}{\partial y} & \mu \frac{\partial v}{\partial z} \\ \mu \frac{\partial u}{\partial z} & \mu \frac{\partial v}{\partial z} & -p \end{bmatrix} \quad (16)$$

şeklinde yazılabilir. (16) denklemindeki gerilme değerleri (15) eşitliğinde yerine yazarak her bir terimin  $h$  kalınlığı boyunca integrali alınır. Daha sonra sonuç  $dxdy$  alanına bölünerek eleman boyutları sıfırı yaklaştırılır. Elde edilen ifade,

$$\lim_{dx,dy \rightarrow 0} \frac{\sum F_x}{dxdy} = \int_0^h \frac{\partial}{\partial x} \left( -p + 2\mu \frac{\partial u}{\partial x} \right) dz$$

$$+ \int_0^h \frac{\partial}{\partial y} \mu \left( \frac{\partial u}{\partial y} + \frac{\partial v}{\partial x} \right) dz$$

$$+ \int_0^h \frac{\partial}{\partial z} \mu \left( \frac{\partial u}{\partial z} \right) dz + p \int_0^h \frac{\partial v}{\partial x} dz + \int_0^h g_x \rho dx dy dz \quad (17)$$

şeklini alır. Tablo 1'deki integral ifadelerinin kullanılmasıyla,

$$\lim_{dx,dy \rightarrow 0} \frac{\sum F_x}{dxdy} = \frac{\partial}{\partial x} \left( -hp + 2\mu \frac{\partial}{\partial x} (h\bar{u}) \right)$$

$$+ \frac{\partial}{\partial y} \left( \mu \left( \frac{\partial}{\partial y} (h\bar{u}) + \frac{\partial}{\partial x} (h\bar{v}) \right) \right) - 12\mu \frac{\bar{u}}{h}$$

$$+ \rho hg_x + p \frac{\partial h}{\partial x} \quad (18)$$

ifadesi elde edilir. Benzer şekilde  $y$ -doğrultusundaki dış kuvvetler toplamı da,

$$\lim_{dx,dy \rightarrow 0} \frac{\sum F_y}{dxdy} = \frac{\partial}{\partial x} \left( \mu \left( \frac{\partial}{\partial y} (h\bar{u}) + \frac{\partial}{\partial x} (h\bar{v}) \right) \right) +$$

$$- \frac{\partial}{\partial y} \left( -hp + 2\mu \frac{\partial}{\partial y} (h\bar{v}) \right) - 12\mu \frac{\bar{v}}{h} + \rho hg_y + p \frac{\partial h}{\partial y} \quad (19)$$

şeklinde yazılabilir. Ayrıca bu eşitlikleri aşağıdaki gibi vektörel formda yazarak daha genel ifade etmek mümkündür.

$$\lim_{dx,dy \rightarrow 0} \frac{\sum \mathbf{F}}{dxdy} = -h\nabla p + \nabla \cdot \mu [\nabla(h\bar{\mathbf{u}}) + (\nabla(h\bar{\mathbf{u}}))^T] - 12\mu \frac{\bar{\mathbf{u}}}{h} + \rho hg \quad (20)$$

Burada bütün değişkenler aynı anlamları taşımakta olup,  $p$ ,  $\mu$ , ve  $g$  sırasıyla termodinamik basınç, dinamik viskozite ve yerçekimi ivmesini tanımlar. Diğer yandan düz hız profili için dış kuvvetlerin limit ifadesi,

$$\lim_{dx,dy \rightarrow 0} \frac{\sum \mathbf{F}}{dxdy} = -h\nabla p + \nabla \cdot \mu [\nabla(h\bar{\mathbf{u}}) + (\nabla(h\bar{\mathbf{u}}))^T] + \rho hg \quad (21)$$

eşitliği ile yazılabilir. Burada (20) ve (21) eşitliklerindeki  $\nabla \cdot \mu [\nabla(h\bar{\mathbf{u}}) + (\nabla(h\bar{\mathbf{u}}))^T]$  terimini  $\nabla \cdot h\bar{\mathbf{u}} + \nabla \cdot \mu [\bar{\mathbf{u}}\nabla h + (\bar{\mathbf{u}}\nabla h)^T]$  şeklinde de yazmak mümkündür.

### b) Net Momentum Akısı

Şekil 2 görülen sonsuz küçük eleman için Şekil 4'deki lineer momentum göz önüne alınarak ve kalınlık doğrultusunda akımın olmadığı ( $w=0$ ) kabul edilerek Şekil 4'de gösterilen eleman boyunca net momentum akısı,

$$\oint_S \rho \mathbf{u}(\mathbf{u} \cdot \mathbf{n}) dS = \left[ \rho \mathbf{u}u + \frac{\partial}{\partial x} (\rho \mathbf{u}u) dx - \rho \mathbf{u}u \right] dy$$

$$+ \left[ \rho \mathbf{u}v + \frac{\partial}{\partial y} (\rho \mathbf{u}v) dy - \rho \mathbf{u}v \right] dx \quad (22)$$

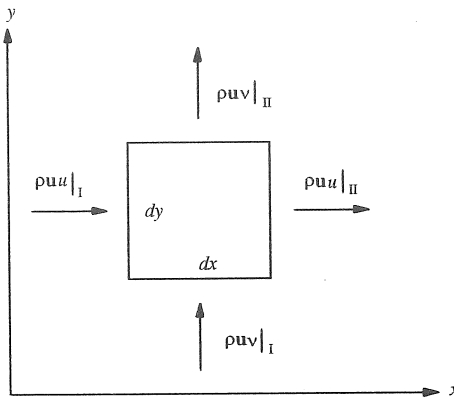
şeklindedir. Gerekli sadeleştirmeler yapıldıktan sonra her bir terimin  $h$  kalınlığı boyunca integrali alınırsa,

$$\oint_S \rho \mathbf{u}(\mathbf{u} \cdot \mathbf{n}) dS = \int_0^h \left( \frac{\partial}{\partial x} (\rho \mathbf{u}u) dz \right) dxdy$$

$$+ \int_0^h \left( \frac{\partial}{\partial y} (\rho \mathbf{u}v) dz \right) dxdy \quad (23)$$

şeklinde bir ifade elde edilir. Tablo 1'deki integral değerlerinin kullanılmasıyla ve eleman boyutlarının sıfırı yaklaşmasıyla parabolik hız profili için yukarıdaki eşitliğin limit ifadesi şöyledir yazılabılır:

$$\lim_{dx,dy \rightarrow 0} \frac{\iint \rho \mathbf{u}(\mathbf{u} \cdot \mathbf{n}) dS}{dxdy} = \frac{\partial}{\partial x} \left( \frac{6}{5} \rho h \bar{u} \bar{u} \right) + \frac{\partial}{\partial y} \left( \frac{6}{5} \rho h \bar{u} \bar{v} \right) \quad (24)$$



Şekil 4. Sonsuz küçük eleman boyunca momentum akışı

Sıkıştırılamaz akışkan için (24) eşitliği daha genel olarak yazılacak olursa,

$$\lim_{dx,dy \rightarrow 0} \frac{\iint \rho \mathbf{u}(\mathbf{u} \cdot \mathbf{n}) dS}{dxdy} = \frac{6}{5} \rho h (\bar{u} \cdot \nabla) \bar{u} \quad (25)$$

eşitliğine indirgenir. Benzer olarak düz hız profili için limit ifadesi,

$$\lim_{dx,dy \rightarrow 0} \frac{\iint \rho \mathbf{u}(\mathbf{u} \cdot \mathbf{n}) dS}{dxdy} = \rho h (\bar{u} \cdot \nabla) \bar{u} \quad (26)$$

şeklindedir.

### c) Momentumun Zamana Göre Değişim Miktarı

Elemandaki momentumun zamana göre değişim miktarı aşağıdaki şekilde direkt olarak incelenebilir.

$$\begin{aligned} \lim_{dx,dy \rightarrow 0} \frac{\frac{\partial}{\partial t} \iiint \rho \mathbf{u} dV}{dxdy} &= \frac{\partial}{\partial t} \left( \int_0^h \int \rho \mathbf{u} dz \right) dxdy \\ &= \frac{\partial}{\partial t} (\rho h \bar{u}) \end{aligned} \quad (27)$$

Sıkıştırılamaz akışkan için (27) denklemi,

$$\lim_{dx,dy \rightarrow 0} \frac{\frac{\partial}{\partial t} \iiint \rho \mathbf{u} dV}{dxdy} = \rho h \frac{\partial \bar{u}}{\partial t} \quad (28)$$

şekline indirgenir.

Yukarıda elde edilen ifadelerin, (12) eşitliğinde yerine yazılmasıyla Navier-Stokes denkleminin yeniden düzenlenmiş hali elde edilebilir. Böylece parabolik hız profilinin kullanılmasıyla elde edilen kalınlığın ilave edildiği Navier-Stokes denklemi,

$$\begin{aligned} \rho h \left\{ \frac{\partial \bar{u}}{\partial t} + \frac{6}{5} (\bar{u} \cdot \nabla) \bar{u} \right\} &= -h \nabla p + \nabla \cdot h \bar{\tau} + \\ \nabla \cdot \mu [\bar{u} \nabla h + (\bar{u} \nabla h)^T] + \rho hg - 12\mu \frac{\bar{u}}{h} \end{aligned} \quad (29)$$

ve düz hız profilinin kullanıldığı formülasyon için,

$$\begin{aligned} \rho h \left\{ \frac{\partial \bar{u}}{\partial t} + (\bar{u} \cdot \nabla) \bar{u} \right\} &= -h \nabla p + \nabla \cdot h \bar{\tau} + \\ \nabla \cdot \mu [\bar{u} \nabla h + (\bar{u} \nabla h)^T] + \rho hg \end{aligned} \quad (30)$$

elde edilir. Burada  $\bar{\tau}$  ortalama viskoz gerilme tensörü olup,

$$\bar{\tau} = \mu [\nabla \bar{u} + (\nabla \bar{u})^T] \quad (31)$$

ifadesiyle tanımlanmıştır.

### Sınır Şartları

İnce kesitli bir kanal içersindeki akıma ait formülasyonun temel denklemleri süreklilik denklemi (11) ve Navier-Stokes denklemleri (29) ve (30)'dır. Bu formülasyon için Dirichlet (zorunlu) sınır şartı iki-boyutlu akım problemleri için kullanılan sınır şartının benzeridir.

$$\Gamma_u \text{ da } \bar{u} = \tilde{u} \quad (32)$$

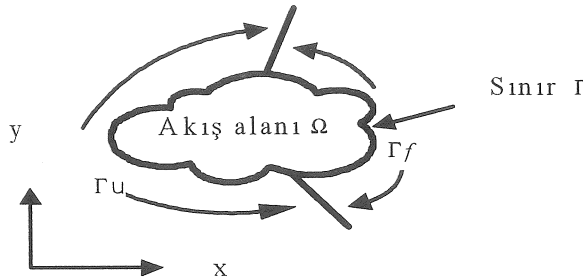
Neumann (doğal) sınır şartı aşağıda ifade edildiği gibi normal ve/veya teğetsel çekme sınır şartı olarak uygulanır.

$$\Gamma_f \text{ da } \begin{cases} f_n = -p + 2\mu \frac{\partial \bar{u}_n}{\partial n} \\ f_t = \mu \left( \frac{\partial \bar{u}_n}{\partial t} + \frac{\partial \bar{u}_t}{\partial n} \right) \end{cases} \quad (33)$$

Burada  $n$  ve  $t$  sırasıyla  $\Gamma_f$  sınırlındaki birim normal ve teğetsel vektörlerdir.  $\Gamma_u$  ve  $\Gamma_f$  alan  $\Omega$ 'yu çevreleyen kapalı  $\Gamma$  sınırının parçalarıdır. Buna göre Şekil 5'den

yararlanarak  $\emptyset$  sıfırı temsil etmek kaydıyla, aşağıdaki gibi bir ilişkiyi yazmak mümkündür.

$$\begin{aligned}\Gamma_u \cup \Gamma_f &= \Gamma \\ \Gamma_u \cap \Gamma_f &= \emptyset\end{aligned}$$



Şekil 5. Akım alanının tanımı ve sınır tipleri

### ÖRNEK UYGULAMA

Yukarıda elde edilen kalınlığın ilave edildiği akım formülasyonunu test etmek amacıyla karmaşık olmayan bir şekil ele alınarak iki değişik örnek için analitik çözüm gerçekleştirılmıştır. Her iki durumda da parabolik hız profili için elde edilen (29) formülasyonu kararlı hal koşulları için test edilmiştir.

Karşılaştırma amacıyla yapılan nümerik çözümlemede sonlu elementlerin Galerkin yöntemi uygulanmıştır. Oluşturulan bir FORTRAN programı ile problemin nümerik çözümleri elde edilmiştir. Ancak yöntem ile programın detayları ve formülasyona uygulanışı bu çalışma kapsamına alınmamıştır. Konuya ilgili diğer detaylar kaynak [17] de bulunabilir. Bu alandaki daha ayrıntılı ve uygulamalı çözüm örnekleri gelecekteki bir çalışmada yer alacaktır.

Türetilmiş olan bu formülasyon analitik çözümün elde edilebildiği bir dikdörtgen kesit arasındaki akışkan akımını simule etmek için kullanılmıştır. Bu nedenle akışkan için seçilen özellikler  $\rho = 1 \text{ kg/m}^3$  ve  $\mu = 1 \text{ kg/ms}$  şeklindedir. Bunlar tipik bir sıvı metalin özelliklerini taşımayıp sadece nümerik algoritmanın tutarlığını test etmek için seçilmiştir. Ayrıca seçilen geometrinin basitliği buna dayalı analitik çözümlerin oluşturulmasına ve nümerik kıyaslamanın yapılabilmesine imkan vermektedir.

#### Örnek 1

Bu problemde akışkanın sabit kalınlığa sahip bir kanal içersindeki dikdörtgensel kesit boyunca akımı tasarlanmıştır. Akışkan 50 kPa'lık sabit bir basınç farkı ile sürüklense ve akım doğrultusunda yerçekimi ivmesi etki etmemektedir.

Buna göre ele alınan akım problemi  $x$ -doğrultusu boyunca olan bir akım olduğuna göre (29) eşitliğinin sadece  $x$ -doğrultusundaki ifadesi göz önüne alınacaktır. Bu ifadenin diferansiyel formu şöyle yazılabilir.

$$\begin{aligned}ph\left[\frac{\partial \bar{u}}{\partial t} + \frac{6}{5}\left(\bar{u}\frac{\partial \bar{u}}{\partial x} + \bar{v}\frac{\partial \bar{u}}{\partial y}\right)\right] &= \\ -h\frac{\partial p}{\partial x} + \frac{\partial}{\partial x}\left[2\mu\frac{\partial}{\partial x}(h\bar{u})\right] + \frac{\partial}{\partial y}\left[\mu\left(\frac{\partial}{\partial y}(h\bar{u}) + \frac{\partial}{\partial x}(h\bar{v})\right)\right] + \rho hg_x - 12\mu\frac{\bar{u}}{h} &= (34)\end{aligned}$$

Şekil 6 göz önünde bulundurularak yapılan bazı kabullerle (34) eşitliği şöyle sadeleştir.

$$\mu\frac{\partial^2 \bar{u}}{\partial y^2} - 12\frac{\mu \bar{u}}{h^2} + \frac{\Delta p}{L} = 0 \quad (35)$$

Burada  $(-\partial p/\partial x) = \Delta p/L$  olup,  $\Delta p$  uzunluk  $L$  boyunca giriş ve çıkış arasındaki mutlak basınç farkıdır. Problem sadece kararlı hal koşulları için ele alınacağından zamana bağlı terimler ihmal edilmiştir. Aşağıdan verilen sınır şartları doğrultusunda,

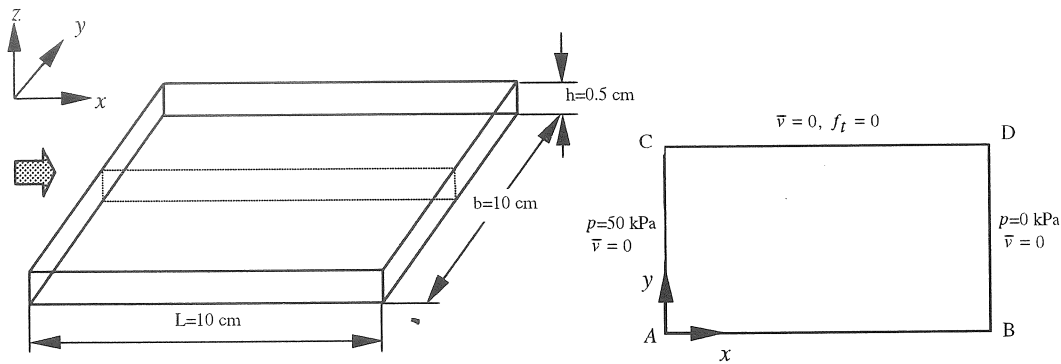
$$\bar{u}|_{y=0} = 0 \quad \text{ve} \quad \frac{\partial \bar{u}}{\partial y}\Big|_{y=\frac{1}{2}b} = 0 \quad (36)$$

eşitliğin çözümünden  $\bar{u}$  hızı,

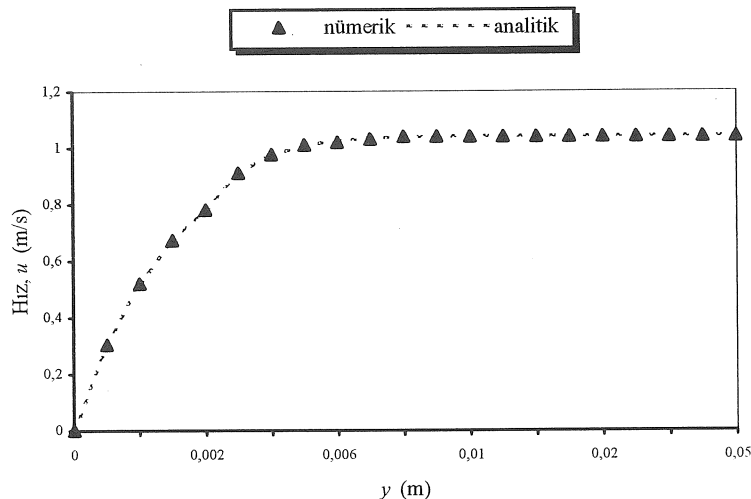
$$\bar{u}(y) = \frac{h^2 \Delta p}{12\mu L} \left[ 1 - \frac{\exp(2\sqrt{3}y/h)}{1 + \exp(2\sqrt{3}b/h)} - \frac{\exp(-2\sqrt{3}y/h)}{1 + \exp(-2\sqrt{3}b/h)} \right] \quad (37)$$

şeklinde elde edilir.

Burada  $b$ ,  $L$ ,  $h$  kanalın boyutları olup basınç farkı  $\Delta p = 50 \text{ kPa}$  olarak alınmıştır. Şeklin simetrisinden yararlanılarak kanalın yarısı göz önüne alınmış ve AB kenarında kayma olmayan sınır şartı uygulanmıştır. Cidara yakın bölgede yüksek hız gradyenti beklenigidenden çözüm için bu kısımda daha sık aralıklar kullanılmıştır. Sonuç olarak analitik ve nümerik çözüm sonucu arasındaki benzerlik Şekil 7 de net olarak görülebilmiştir.



Şekil 6. Sabit kalınlıktaki bir kanal içerisindeki akım



Şekil 7. Sabit kalınlıktaki dikdörtgen kesit arasındaki akım hız sonuçları

## Örnek 2

İkinci teste kalınlık değişiminin akım üzerine etkisi incelenmiştir. Lineer olarak daralan kesitte (Şekil 8) aynı tip akışkan kullanılmıştır. Akışkan kanal içerisinde yine 50 kPa'lık bir basınç farkı ile sürüklenemektedir. AB ve CD kenarları boyunca olan akımın serbest akım gibi davranışmasını sağlamak için kayma sınır şartı uygulanmıştır. Bu problemde çözüm  $h$ 'in lineer fonksiyonu,

$$h(x) = h_{\text{giriş}} + r_x x \quad (38)$$

göz önüne alınarak ulaşılmıştır. Burada  $r_x$  sabit kalınlık gradyenti olup değişim bölgesi  $0 \leq x \leq L$  dir.

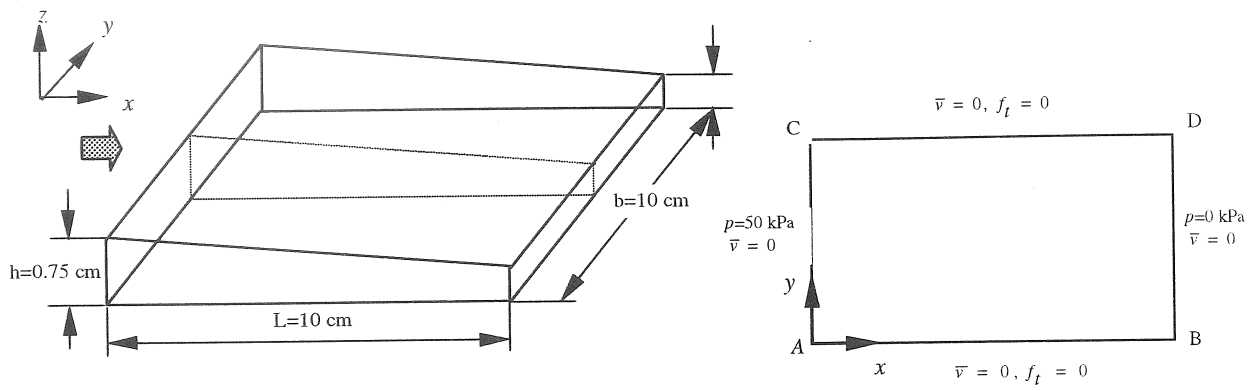
Süreklik denklemi (11)'nin integrasyonu birim kalınlık başına düşen akım miktarını vereceğinden  $q$ ,

$$q(x) = h(x) \cdot \bar{u}(x) \quad (39)$$

olacaktır. Buna göre (34) eşitliği ve sürekli denklemi kararlı hal koşulları için

$$\rho h \frac{\partial \bar{u}}{\partial t} + \frac{6}{5} \rho h \bar{u} \frac{\partial \bar{u}}{\partial x} = -h \frac{\partial p}{\partial x} - 12\mu \frac{\bar{u}}{h} \quad (40)$$

şeklinde sadeleştirilebilir. (40) eşitliğinin  $q$ 'ya bağlı ifadesi şöyle elde edilebilir.



Şekil 8. Lineer olarak daralan bir kanal içerisindeki akım

$$p_{\text{giriş}} - p_{\text{çıktı}} \equiv \Delta p = \frac{6}{5} \frac{\rho q}{h^3} \left( r_x q - 10 \frac{\mu}{\rho} \right) \quad (41)$$

Verilen sınır şartlarından yararlanarak gerekli işlemler ve sadeleştirilmeler yapılarak  $q$ 'nun  $x$ 'e bağlı çözümü,

$$q = \frac{1}{r_x} \left[ 5 \frac{\mu}{\rho} - \sqrt{\left( 5 \frac{\mu}{\rho} \right)^2 - \frac{5}{3} \left( \frac{h_{\text{giriş}}^2 + h_{\text{çıktı}}^2}{h_{\text{giriş}} + h_{\text{çıktı}}} \right) \frac{r_x \Delta p}{\rho L}} \right] \quad (42)$$

olarak elde edilir. Buna göre  $\bar{u}$  hızı (41) ve (42) eşitliklerinden,

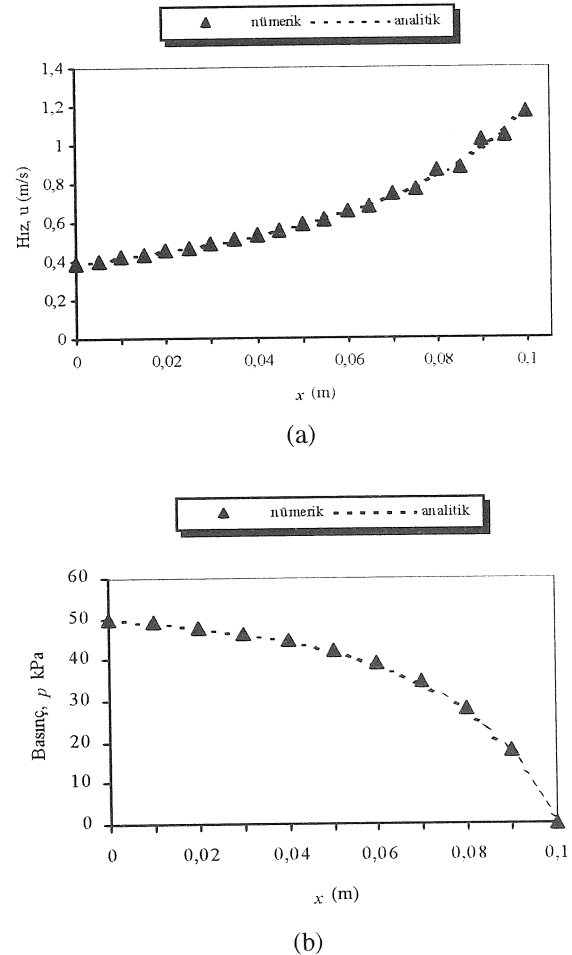
$$\bar{u}(x) = \frac{q}{h_{\text{giriş}} + r_x x} \quad (43)$$

şeklinde kolaylıkla hesaplanabilir.  $p$  basıncının çözümü için (41) ifadesinin  $[0, L]$  bölgesi içerisinde integrali alınarak aşağıdaki eşitlikten elde edilebilir.

$$p(x) = p_{\text{çıktı}} + q \left( \frac{3}{5} \rho q - 6 \frac{\mu}{r_x} \right) \left[ \frac{1}{h_{\text{çıktı}}} - \frac{1}{(h_{\text{giriş}} + r_x x)^2} \right] \quad (44)$$

Bütün bu denklemler için değişkenlerin değerleri Şekil 8'den elde edilebilir.

Sonuç olarak hız ve basıncın analitik ve nümerik çözümleri arasındaki uyumlu benzerlik Şekil 9'da net olarak görülmektedir. Hızın çıkışa doğru olan titreşimleri çözüm aralıklarının sıklaştırılmasıyla giderilebilir.



Şekil 9. Lineer olarak daralan bir kanal içerisindeki akım hızı ve basınç sonuçları

## SONUÇ

Çalışmada elde edilen formülasyonlar kalıp boşluğuna basılan bir sıvı metalin hareketinin incelenmesinde kullanılmak üzere türetilmiştir. Analitik çözümün elde edilebilmesi için basit geometriye sahip örnekler seçilerek bir dikdörtgen kesit arasındaki akışkan akımı simule edilmiştir. Ancak bu çalışmada, daha önce de bahsedildiği gibi nümerik hesaplamalar ve kalıp boşluğunun doldurulmasıyla ilgili uygulama kısmı ele alınmamış, sadece formülasyonun elde edilişi üzerinde durularak uygulama için basamak oluşturulmak istenmiştir. Sonuç olarak yapılan hesaplamalarda analitik ve nümerik çözümlerde uyumlu sonuçların elde edilmesi yaklaşımın doğruluğunu göstermektedir.

## GELECEKTEKİ ÇALIŞMALAR

Elde edilen formülasyon kullanılarak uygulamaya yönelik detaylara, örnek ve sonuçlara sonraki çalışmalarda yer verilecektir.

## ACKNOWLEDGEMENT

I would like to acknowledge to Prof. Dr. D. T. GETHIN (University College of Swansea) and Dr. S. ABDULLAH (University Kebangsaan Malaysia) for their help, advise and criticism of the results for the programs and data.

## A QUASI-THREE DIMENSIONAL FORMULATION OF FLOW ANALYSIS THROUGH A THIN SECTION CHANNEL

Analysis of a fluid flow through thin section channels is very important for industrial applications. Three-dimensional approach produces accurate results for this type analysis. However it is very difficult and complicated to analyse such a model, which specially has a complex shape in three-dimensions. In addition the three-dimensional analysis of a model is very costly because it needs large amount of computing time and powerful computers. Therefore, such a model should, whenever possible, be simplified or reduced to an equivalent two-dimensional representation. In this study, three-dimensional Navier-Stokes equations, which are then integrated along channel thickness  $h$ , over the  $z$ -direction, are reduced to a *quasi three-dimensional* representation. This will lead a saving in computing time since spatial velocity components  $[u, v, w]$  are transformed to planar mean velocities

$[\bar{u}, \bar{v}]$  by reducing one of the spatial velocity components such as  $w$ . In that modification two different formulations have been derived using a parabolic and a planar velocity profile.

Keywords: Thin Section Channel, Navier-Stokes Equations, Quasi-Three Dimensions.

## KAYNAKÇA

1. Campbell, J., Thin Wall Casting, *Materials Science and Technology*, 4:194-204, (1988).
2. Zhang, Y.F., Liu, W.K., Wang, H.P., Cast Filling Simulations of Thin-walled Cavities, *Computer Methods in Applied Mechanics and Engineering*, 128:199-230, (1995).
3. Hughes, T.J.R., Liu, W.K., Brooks, A., Finite Element Analysis in Incompressible Viscous Flows by the Penalty Function Formulation, *Journal of Computational Physics*, 30:1-60, (1979).
4. Leone, J.M., Gresho, P.M., Finite Element Simulation of Steady, Two-dimensional, Viscous Incompressible Flows Over a Step, *Journal of Computational Physics*, 41:167-191, (1981).
5. Berocvier, M., Engelman, M., A Finite Element for the Numerical Solution of Viscous Incompressible Flows, *Journal of Computational Physics*, 30:181-201, (1979).
6. Donea, J., Giuliani, S., Laval, H., Finite Element Solution of the Unsteady Navier-Stokes Equations by a Fractional-step Method, *Computer Methods in Applied Mechanics and Engineering*, 30:53-73, (1982).
7. Sotiropoulos, F., Abdallah, S., Coupled Fully Implicit Solution Procedure for the Steady Incompressible Navier-Stokes Equations, *Journal of Computational Physics*, 87:328-348, (1990).
8. Prakash, C., Patankar, S.V., A Control Volume-Based Finite-Element Method for Solving the Navier-Stokes Equations Using Equal-Order Velocity-Pressure Interpolation, *Numerical Heat Transfer*, 8: 259-280, (1985).
9. Ramaswamy, B., Theory and Implementation of a Semi-implicit Finite Element Method for Viscous Incompressible Flow, *Computers Fluids*, 22(6):725-747, (1993).
10. Stenberg, R., A Technique for Analysing Finite Element Methods for Viscous Incompressible Flow, *International Journal for Numerical Methods in Fluids*, 11:935-948, (1990).
11. Thomas, B.G., Najjar, F.M., Finite Element Modelling of Turbulent Fluid flow and Heat

- Transfer in Continuous Casting, *Applied Mathematics and Modelling*, 15:226-243, (1991).
12. Zaidi, K., Abbes, B., Teodosiu, C., Finite Element Simulation of Mold Filling Using Marker Particles and the  $k-\epsilon$  Model of Turbulence, *Computer Methods in Applied Mechanics and Engineering*, 144:227-233, (1997).
13. Dhatt, G., Gao, D.M., Ben Cheikh, A., A Finite Element Simulation of Metal Flow in Moulds, *International Journal for Numerical Methods in Engineering*, 30:821-831, (1990).
14. Schlichting, H., *Boundary Layer Theory*, McGraw-Hill Book Company, (1979).
15. Wang, H.P., Perry, E.M., An Interactive Parametric Analysis Tool for Thin-Walled Investment Casting, *Proceeding of Fifth Inter.* Conference on Modelling of Casting, Welding and Advanced Solidification Processes, M. Rappaz et. al. (editors), Palm Coast, Florida, The Minerals, Metals and Materials Society, 595-602, (1991).
16. Subbiah, S., Trafford, D.L., Güceri, S.I., Non-Isothermal Flow of Polymer into Two-Dimensional, Thin Cavity Molds: A Numerical Grid Generation Approach, *International Journal of Heat and Mass Transfer*, 32:415-434, (1989).
17. Yaman, G., *İnce Kesitli Döküm Boşluğun Doldurmakta Olan Ergimis Malzemeye Ait Hareketin Sonlu Elemanlar Yöntemi ile İncelemesi*, Doktora Tezi, Balikesir, 1999.